

## ВПЛИВ ВРАЗЛИВОСТІ ОБ'ЄКТІВ НА РОЗВ'ЯЗОК ПРЯМОЇ ТА ЗВОРОТНОЇ ЗАДАЧ МЕНЕДЖМЕНТУ ІНФОРМАЦІЙНОЇ БЕЗПЕКИ

**М.В. ДЕМЧИШИН, Є.Г. ЛЕВЧЕНКО**

Оптимізація розподілу ресурсів між об'єктами захисту інформації ведеться на основі математичної моделі, в якій цільова функція визначає кількість вилученої інформації. Розглянуто та графічно проілюстровано ситуації, коли слід переходити від концентрації ресурсів на одному з об'єктів до їх розподілу між об'єктами. Показано, як впливає ймовірність виділення нападом певної кількості ресурсів на кінцевий результат.

### ВСТУП

У математичних моделях менеджменту інформаційної безпеки цільова функція зазвичай визначає один із показників протистояння (часто — його оптимальне значення) через виражену в той чи інший спосіб вразливість системи захисту інформації (СЗІ) [1–4]. У моделі Гордона-Лоеба (ГЛ) [1–3] таким показником є зменшення втрат від вилучення інформації завдяки внесенню інвестицій із відрахуванням витрат  $y$  на її захист, а вразливість об'єкта розглядається як ймовірність того, що напад буде успішним при  $y = 0$ .

### ПОСТАНОВКА ЗАДАЧІ

У [4] цільова функція має вигляд:

$$I(x, y) = \sum_{k=1}^l I_k(x, y) = \sum_{k=1}^l G_k p_k q_k(x, y) f_k(x, y), \quad (1)$$

де  $I(x, y)$  — відносна кількість вилученої інформації;  $k = \overline{1, l}$  — номер об'єкта захисту інформації;  $G_k$  — обсяг інформації на  $k$ -му об'єкті,

$\sum_{k=1}^l G_k = G$ ;  $x$  та  $y$  — ресурси нападу і, відповідно, захисту, які віднесені до

$G_k$ ;  $p_k$  — ймовірність нападу на  $k$ -й об'єкт;  $q_k(x, y)$  — ймовірність виділення ресурсів  $x$  при нападі на  $k$ -й об'єкт;  $f_k(x, y)$  — залежність частки вилученої інформації на  $k$ -му об'єкті від співвідношення  $x$  та  $y$ .

У [4] для різних інформаційних систем і умов протистояння наведено огляд актуальних задач, які можуть бути розглянуті за допомогою описаної методики.

**Мета роботи** — розв'язання однієї з таких задач, а саме — визначення оптимального розподілу ресурсів захисту по об'єктах, при якому досягається-

ся мінімум вилученої інформації. Частинні випадки цієї задачі розглянуто в [5], а формулювання задач для різних систем і умов протистояння — у [4].

## МЕТОДИКА РОЗРАХУНКІВ ТА РЕЗУЛЬТАТИ

Під час застосування функції (1) ключовим питанням є встановлення явної форми залежностей  $f_k(x, y)$  та їх фізичного змісту, тобто зв'язку з характеристиками об'єктів. Об'єкти можуть мати як фізичну природу (приміщення, паперова документація, канали витоку інформації), так і електронну (поштові сервери, файл-сервери тощо). Ці залежності мають задовольняти цілій низці вимог. Для того, щоб виокремити їх вплив, покладемо  $p_k = 1$ ,  $q_k(x, y) = \text{const} = 1$  і одержимо спрощену форму виразу (1):

$$I(x, y) = \sum_{k=1}^l G_k f_k(x, y). \quad (2)$$

Таким чином, об'єкти на першому етапі нашого розгляду відрізняються лише двома показниками — обсягом інформації та залежністю  $f_k(x, y)$ , яку можна трактувати як характеристику вразливості об'єкта, яку визначимо як відношення кількості вилученої інформації до затрачених ресурсів:  $\nu = \frac{I}{X}$ .

Надалі маленькими літерами позначатимемо відносні величини:

$$g_k = \frac{G_k}{G}; \quad i_k = \frac{I_k}{G}; \quad x_k = \frac{X_k}{G}; \quad y_k = \frac{Y_k}{G}.$$

Під час розгляду функціональних залежностей індекси опускаємо.

Основна вимога до залежностей  $f(x, y)$ : при  $\frac{x}{y} \rightarrow 0$   $f(x, y) \rightarrow 0$ , при

$\frac{x}{y} \rightarrow \infty$   $f(x, y) \rightarrow a$ , де  $a \leq 1$  — максимально можлива кількість вилученої інформації, яка визначається специфікою об'єкта та його системи захисту.

Цим умовам відповідають степеневі  $f(x, y) = \frac{a(x/y)^n}{(x/y)^n + c}$  і показникові

$f(x, y) = a(1 - e^{-m(x/y)^n})$  функції [4]. Враховуючи, що за відповідного вибору параметрів ці залежності можуть стати досить близькими, обмежимося розглядом степеневих функцій. Параметри  $n$  та  $c$  у степеневій функції  $f(x, y)$  можна встановити, виходячи з таких міркувань.

- При  $x/y \gg 1$  залежності  $f(x, y)$  при різних  $n$  та  $c$  повинні мати схожий характер, який відповідає умові  $f(x, y) \rightarrow a$ . При  $\sim x/y \geq 0$  опуклість кривої може бути направлена як вгору, так і вниз — залежно від початкової вразливості об'єкта. У математичному виразі степеневі залежності  $f(x, y)$  опуклість направлена вгору при  $n \leq 1$  та вниз — при  $n > 1$ .

• Вважаючи, що втрата 10–15 % інформації для підприємства є досить відчутною, а 15–20 % — критичною, формулюємо умову: при  $x/y \approx 1$  —  $i(x, y) \approx 0,05..0,15$ , при  $x/y \approx b$  —  $i(x, y) \approx 0,2..0,3$ . Граничне значення  $x/y \approx b$  обирається з таких міркувань. Кількість ресурсів, які можуть бути виділені на захист інформації, за статистичними оцінками становить  $y \approx 0..0,15g$ . Вважаємо, що витрати ресурсів сторони нападу лежать в інтервалі  $x \approx 0..0,5g$  (подальше їх збільшення визнаємо недоцільним). Виходячи з реальних граничних витрат та вважаючи, що витрати обох сторін визначаються одними і тими ж показниками (важливістю об'єкта та його вразливістю) і тому змінюються синхронно, отримуємо граничне значення  $x/y = \frac{0,5}{0,15} \approx 3$ . Надалі ресурси нападу подаватимемо у відносних величинах

у двох варіантах: віднесені до кількості інформації —  $x_k = \frac{X_k}{G_k}$ ,  $x_k = 0..1$

або до ресурсів захисту —  $x_k/y_k = 0..3$ . Значення  $x/y$ , які лежать за межами цього інтервалу (зокрема, при  $y \rightarrow 0$   $x/y \rightarrow \infty$ ) можуть бути розглянуті окремо. Варто зазначити, що наведені величини є орієнтовними і в окремих випадках можуть бути перевищені.

• При невеликих значеннях  $x/y$  ( $x/y \lesssim 1$ ) СЗІ має бути рентабельною, тобто зменшення втрат інформації  $\Delta I$  має перевищувати витрати  $y$  на її захист. При значних величинах  $x/y \approx 3$  рентабельним має бути напад:  $i \gtrsim x$ .

Для того, щоб мати можливість графічно зображати результати, розглянемо систему з двох об'єктів. Оскільки цю роботу спрямовано на аналіз дій нападу з метою розробки заходів протидії, вважатимемо величини, які визначаються стороною захисту, сталими та рівними:  $g_1 + g_2 = g = 1$ ,  $y_1 + y_2 = y = 0,05g$ . При прийнятих допущеннях щодо  $p_k$  та  $q_k(x, y)$  маємо  $i_k(x, y) = g_k f_k(x, y)$ . Степеневі залежності  $f(x, y)$ , які відповідають визначеним вимогам і показують вплив параметрів  $a$ ,  $n$  та  $c$  наведено на рис. 1.

Вважаючи, що об'єкти мають різний ступінь вразливості та враховуючи наведені вище умови, оберемо функції  $f(x, y)$  для двох об'єктів у формі (рис. 1):

$$f_1(x, y) = \frac{1}{2} \frac{x_1}{\frac{x_1}{y_1} + 3}; f_2(x, y) = \frac{1}{3} \frac{\left(\frac{x_2}{y_2}\right)^3}{\left(\frac{x_2}{y_2}\right)^3 + 4}. \quad (3)$$

Зазначимо, що коефіцієнти  $\frac{1}{2}$  та  $\frac{1}{3}$  введені у вирази  $f_k(x, y)$  (3) для того, щоб підкреслити кривизну ліній, що, звичайно, не обмежує загальність дослідження.

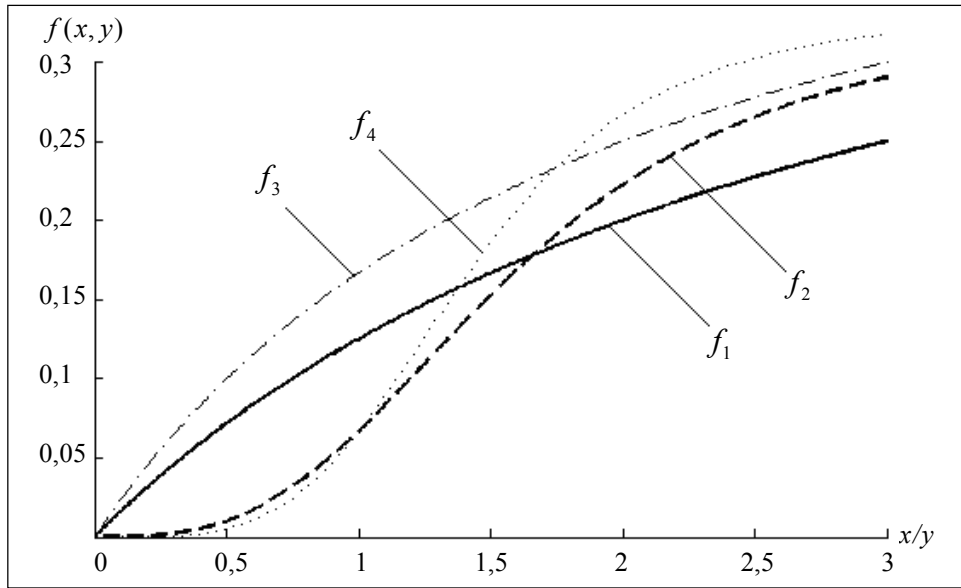


Рис. 1. Степеневі залежності  $f(x, y)$  при різних значеннях параметрів

Опуклість у початковій області об'єкта 1, відповідно до (3), направлена вгору, що свідчить про низький рівень початкової вразливості, а для об'єкта 2 картина протилежна (рис. 1). Прикладом елементу захисту, для якого характерна форма залежності 2, є шифрування даних. Для зламу цієї системи потрібна значна кількість ресурсів, проте після досягнення цієї мети кількість вилученої інформації стрімко зростає.

Цільова функція (2) із врахуванням (3) приймає вигляд:

$$i(x_1, x_2, y_1, y_2) = i_1(x_1, y_1) + i_2(x_2, y_2) = \frac{1}{2} g_1 \frac{\frac{x_1}{y_1}}{\frac{x_1}{y_1} + 3} + \frac{1}{3} g_2 \frac{\left(\frac{x_2}{y_2}\right)^3}{\left(\frac{x_2}{y_2}\right)^3 + 4}. \quad (4)$$

Використовуючи (4), можна сформулювати оптимізаційні задачі двох типів:

- *пряма задача* — при заданій кількості ресурсів нападу  $x_1 g_1 + x_2 g_2 = x$  знайти оптимальний розподіл  $\{x_1^0, x_2^0\}$ , який забезпечує максимальну кількість вилученої інформації  $i_{\max}$  (надалі через  $x$  та  $y$  позначатимемо сумарні ресурси двох об'єктів);
- *зворотна задача* — знайти необхідну кількість ресурсів  $x_1 g_1 + x_2 g_2 = x$  та їх розподіл, який забезпечує вилучення заданої кількості інформації  $i$ .

Графічну ілюстрацію розв'язку обох задач наведено на рис. 2. Значення  $X, Y, Z$  в інформаційних полях позначених точок зображають величини, які наведені на відповідних вісях координат — у цьому випадку  $x_1, x_2, i(x, y)$ .

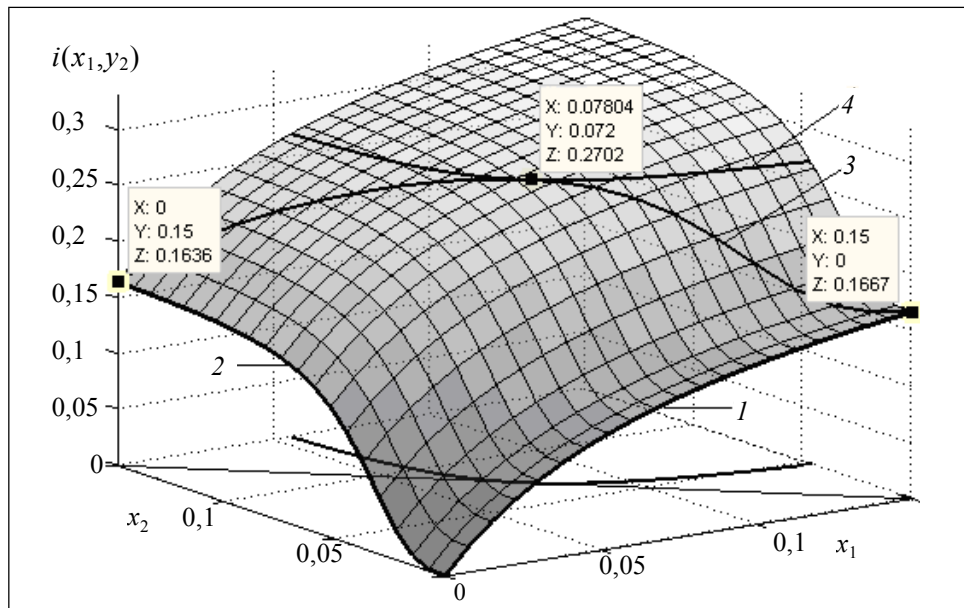


Рис. 2. Графічна ілюстрація розв'язку прямої та зворотної задач

Розглянемо спочатку розв'язок *прямої задачі*. Задаємо кількість ресурсів нападу (для прикладу візьмемо  $x = 0,15$ ) і будемо обмежувальну пряму  $x_1 + x_2 = 0,15$ , а потім здійснюємо переріз об'ємної фігури  $i(x_1, x_2)$ , побудованої на залежностях  $i_1(x_1)$ ,  $i_2(x_2)$  при  $g_1 = g_2 = 0,5$ ,  $y_1 = y_2 = 0,025$ ,  $y_1 + y_2 = 0,05$ ,  $y_1 g_1 + y_2 g_2 = 0,025$  (криві 1 та 2) вертикальною площиною, що проходить через цю пряму (у виразі  $i_k(x, y)$  величину  $y = \text{const}$  опускаємо). Лінія 3, утворена цим перерізом, визначає множину всіх можливих значень  $i(x_1, x_2)$  і дає змогу знайти  $i_{\max}$  та відповідний розподіл  $x_1^0, x_2^0$  (на рис. 2  $x_1^0 = 0,078$ ,  $x_2^0 = 0,072$ ,  $i_{\max} = 0,27$ ).

Кількість максимумів, які має функція  $i(x_1, x_2)$  при обмеженні  $x_1 + x_2 = x$  визначається формою складових  $i_1(x_1)$ ,  $i_2(x_2)$ . Один максимум спостерігається у випадку, коли кожна зі складових виражається однією дробно-лінійною або дробно-нелінійною функцією, тобто похідні  $i_1'(x_1)$ ,  $i_2'(x_2)$  мають не більше одного максимуму. У протилежному випадку можна спостерігати декілька локальних максимумів. Максимальне значення функція може приймати і на кінці інтервалу, що відображає ситуацію, коли всі ресурси слід вкладати в один із об'єктів.

Як видно з (4), на величини  $i(x_1, x_2)$  і, відповідно,  $i_{\max}$ , крім виду залежностей  $f_1(x, y)$  та  $f_2(x, y)$ , має вплив також розподіл  $g_1/g_2$  інформації між об'єктами. При зміні цього співвідношення криві  $i_1(x_1)$ , та  $i_2(x_2)$  на рис. 2 будуть змінювати своє положення: одні підніматись, а інші — опускатись. При цьому буде змінюватись форма просторової фігури  $i(x_1, x_2)$ , форма ліній перерізу і значення оптимальних величин.

Розглянемо тепер *зворотню задачу*. Її розв'язок одержимо в результаті перерізу поверхні  $i(x_1, x_2)$  площиною  $x_1 0 x_2$ , проведеною на рівні

$i(x_1, x_2) = C$  (рис. 2). Точка дотику отриманої в результаті перерізу лінії рівня (ізокванти)  $i(x_1, x_2) = C$  (крива 4) і обмежувальної прямої (ізокости)  $x_1 + x_2 = x$  дає розв'язок задачі, тобто значення  $x$ , яке забезпечує вилучення інформації  $i(x_1, x_2) = C$  і відповідний оптимальний розподіл  $\{x_1^0, x_2^0\}$ , а саме, розподіл, який забезпечує задану величину  $i(x_1, x_2)$  при мінімальному значенні  $x_1 + x_2 = x$ . На рис. 2 переріз здійснено на рівні  $C = i_{\max} = 0,27$ , визначеному розв'язком прямої задачі. На рис. 3 показано положення ліній перерізу і точок дотику до обмежувальних прямих  $x_1 + x_2 = x$ , які визначають оптимальні величини  $x_1^0, x_2^0$  для різних значень  $i(x_1, x_2)$ : 1 —  $i = 0,3$ , 2 —  $i = 0,27$ , 3 —  $i = 0,2$ , 4 —  $i = 0,1$ .

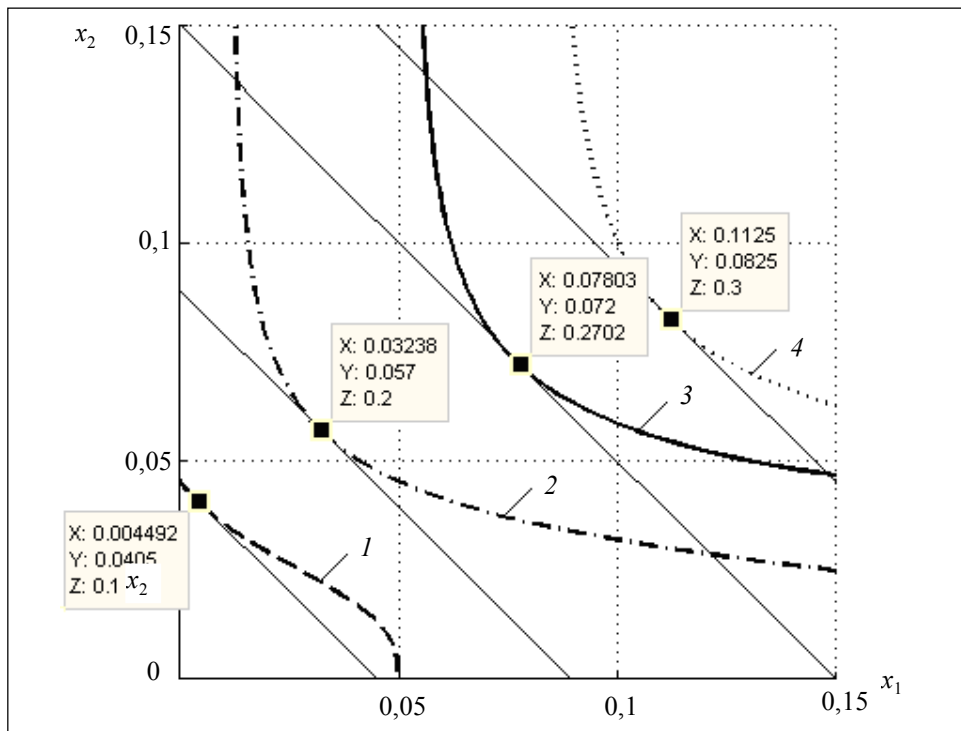


Рис. 3. Формування оптимального розподілу ресурсів нападу

Необхідні значення ресурсів нападу  $x$  для деяких значень  $i$ , а також оптимальні розподіли  $\{x_1^0, x_2^0\}$  для них, розраховані за виразом (4) при  $g_1 = g_2 = 0,5$ ,  $y_1 = y_2 = 0,025$ , наведено в таблиці.

**Таблиця.** Величини  $x$  та оптимальні розподіли  $\{x_1^0, x_2^0\}$  ресурсів нападу, які необхідні для вилучення заданої кількості інформації  $i(x_1, x_2)$

$i(x_1, x_2)$	0,1	0,2	0,27	0,3
$x$	0,045	0,089	0,15	0,195
$x_1^0$	0,005	0,032	0,078	0,112
$x_2^0$	0,04	0,057	0,072	0,082

Результати, наведені в третьому стовпчику таблиці, є розв'язком зворотної задачі, де вхідні дані взято з попередньо знайденого розв'язку прямої задачі ( $i(x_1, x_2) = 0,27$  для  $x = 0,15$ ). В інших стовпчиках мають місце розв'язки зворотної задачі для довільних значень  $i(x_1, x_2)$ .

Таким чином, обмежувальна пряма  $x_1 + x_2 = x$  своїм дотиком до ліній, утворених перерізом поверхні  $i(x_1, x_2)$  двома взаємно перпендикулярними площинами, визначає точку оптимізації, яка, у свою чергу, після проектування на площину  $x_1 O x_2$ , задає оптимальний розподіл  $(x_1^0, x_2^0)$ . Кількісні результати, наведені в таблиці, розраховані з використанням функції `fmincon` пакету Optimization Toolbox програмного комплексу Matlab. Ця функція знаходить мінімум скалярної функції багатьох змінних при обмеженнях типу  $Ax \leq B$ . Графічна інтерпретація надається лише для ілюстрації сутності явища.

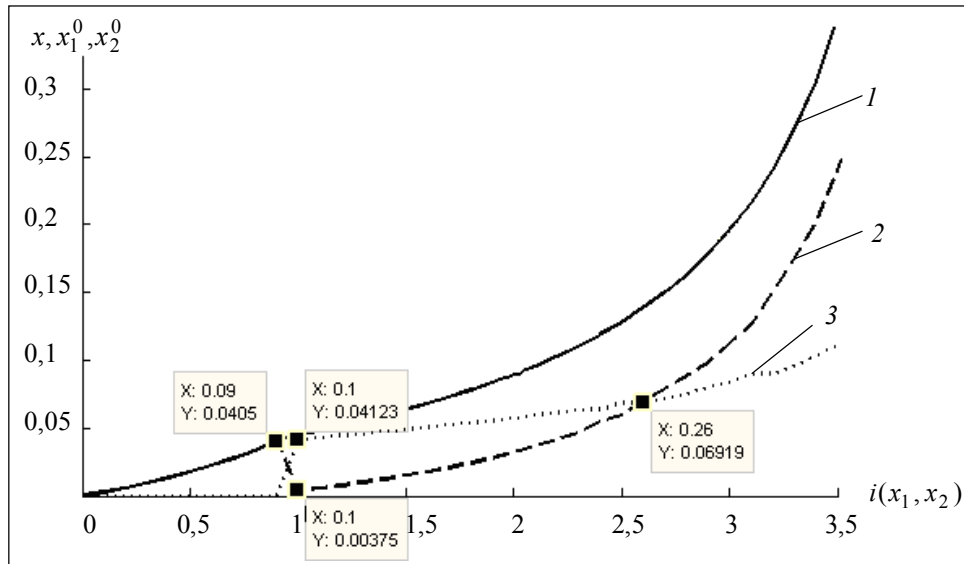


Рис. 4. Розподіл ресурсів при розв'язку зворотної задачі, крива 1 —  $x$ , 2 —  $x_1^0$ , 3 —  $x_2^0$

На рис. 4 наведено залежність  $x$  від величини  $i$ , а також оптимальні розподіли  $x_1^0, x_2^0$  для різних  $i$ . Інтервал можливих значень  $i$  обрано з огляду на розрахункові значення  $f(x, y)$  з рис. 1. Цікавим на цьому графіку є наявність двох критичних точок  $i_{кр}^{(1)}$  та  $i_{кр}^{(2)}$ . При  $i < i_{кр}^{(1)}$  всі ресурси нападу доцільно зосередити на одному з об'єктів. Цей об'єкт визначається кількістю інформації на ньому і ступенем його вразливості. На рис. 4  $i_{кр}^{(1)} = 0,09$ , при  $i < 0,09$   $x_1^0 = x$ ,  $x_2^0 = 0$ . При  $i > i_{кр}^{(1)}$  відбувається перерозподіл ресурсів нападу:  $x_1^0$  суттєво зменшується (з 0,0405 до 0,00375), а  $x_2^0$  стрибком зростає від 0 до 0,04123. При подальшому збільшенні  $x$  обидві величини  $x_1^0$  та  $x_2^0$  зростають, причому  $x_2^0 > x_1^0$ . При  $i = i_{кр}^{(2)}$  вони досягають

однакового значення ( $x_1^0 = x_2^0 = 0,06919$ ), після чого  $x_1^0$  перевищує  $x_2^0$ . Використовуючи економічну термінологію, можемо вважати, що  $i_1(x)$  та  $i_2(x)$  — субститути, а перехід від одного об'єкта до іншого характеризує еластичність доходу.

Наявність критичних точок можна пояснити такими причинами. На початковому етапі зростання  $x$   $i_1(x) > i_2(x)$  та  $i_1'(x) > i_2'(x)$ , тобто кількість інформації, яка вилучається з першого об'єкта, і швидкість зростання цієї кількості перевищують відповідні величини для другого об'єкта (криві 1 та 2 на рис. 1). При такому припущенні про однакову кількість інформації на об'єктах ( $g_1 = g_2$ ) це може бути спричинено більшою початковою вразливістю першого об'єкта. У цих умовах доцільно направляти всі ресурси нападу на перший об'єкт:  $x_1^0 = x$ . Проте зі збільшенням  $x$  значення  $i_1'(x)$  зменшується, а значення  $i_2(x)$  та  $i_2'(x)$  зростають, що зрештою призводить до ситуації, коли сума  $g_2 i_2(x_2) + g_1 i_1(x - x_2)$  стає більшою, ніж  $g_1 i_1(x_1)$ . У цій точці доцільно перейти до розподілу ресурсів між двома об'єктами. Значення  $i_{кр}^{(1)}$  визначається кривизною ліній  $f_1(x)$ ,  $f_2(x)$  та співвідношенням  $g_1/g_2$ . Під час переходу через цю точку залежність  $x(i)$  змінює свій нахил, оскільки до цієї точки вона повністю визначається функцією  $i_1(x)$ , а при  $i > i_{кр}^{(1)}$  — обома функціями  $i_1(x)$ ,  $i_2(x)$ . Зменшення нахилу  $x(i)$  свідчить про перехід до ефективнішого використання ресурсів нападу.

Отриманий результат деякою мірою перегукується з висновками [1], де ставиться задача оптимізації загальної кількості виділених ресурсів захисту і при деяких видах залежності кількості вилученої інформації  $i$  від вразливості  $v$  оптимальна кількість ресурсів захисту  $y = y^0$  дорівнює нулю при малих, а в деяких випадках — також при дуже великих значеннях вразливості.

Стрибокподібний перерозподіл ресурсів у точці  $i_{кр}^{(1)}$  можна проілюструвати ще за допомогою геометричної інтерпретації розв'язку (рис. 5), де показано, що в інтервалі  $x \leq 0,04358$  ресурси нападу доцільно направляти на перший об'єкт, а при перевищенні цього значення розподіляти між об'єктами (квадратики — точки, в яких  $x \rightarrow \min$ ).

Значення  $x_1^0$ ,  $x_2^0$  у рисунках обираються такими, щоб сума ординат на кривих 1, 2 рис. 1 під час виконання обмежувальної умови набувала максимального значення. Це фактично є формулюванням принципу Лагранжа, який у застосуванні до нашої задачі дає змогу одержати аналітичні вирази для  $x_1^0$ ,  $x_2^0$ .

Запишемо функцію Лагранжа, подаючи лінійну та кубічну залежності  $f_k(x, y)$  в загальній формі:

$$L(x_1, x_2, \lambda) = g_1 \frac{a_1(x_1/y_1)}{x_1/y_1 + c_1} + g_2 \frac{a_2(x_2/y_2)^3}{(x_2/y_2)^3 + c_2} - \lambda(x_1 + x_2 - x).$$



Беручи частинні похідні по невідомим  $x_1$ ,  $x_2$ ,  $\lambda$ , одержуємо систему рівнянь, яка визначає  $x_1^0$ ,  $x_2^0$ ,  $\lambda$ :

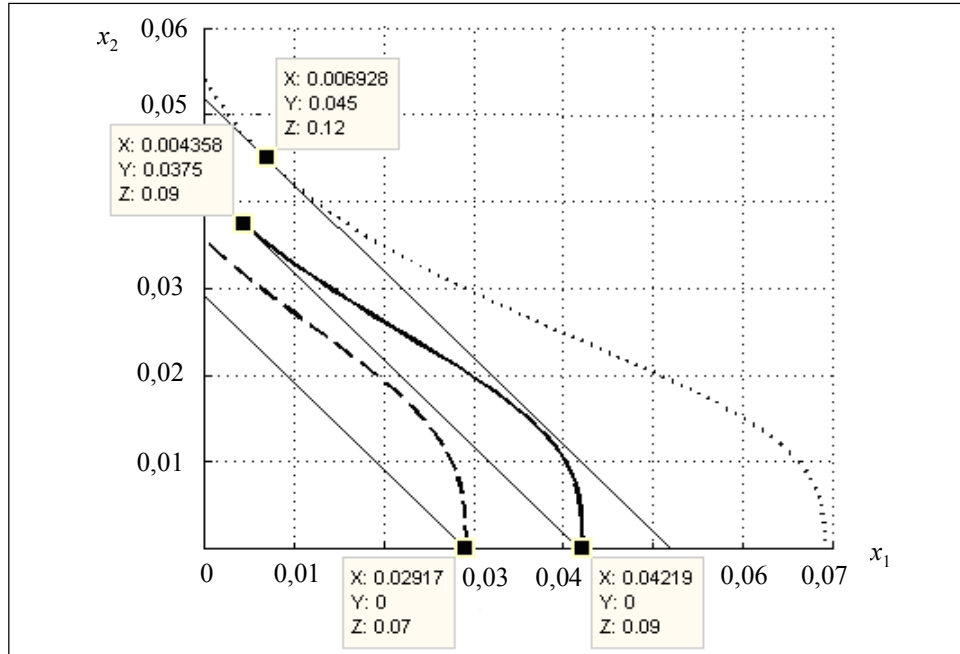


Рис. 5. Графічне пояснення стрибкоподібного перерозподілу ресурсів

$$\begin{cases} x_1^0 = \sqrt{\frac{a_1 c_1}{\lambda}} g_1 y_1 - c_1 y_1 \\ \left(\frac{x_2^0}{y_2}\right)^3 - \sqrt{\frac{3 g_2 a_2 c_2}{\lambda}} \left(\frac{x_2^0}{y_2}\right) + c_2 = 0 \\ x_1^0 + x_2^0 = x \end{cases}$$

Розв'язок значно спрощується, якщо обидві залежності  $f_1(x, y)$ ,  $f_2(x, y)$  виражаються функціями першого степеня:

$$f_1(x, y) = \frac{a_1(x_1/y_1)}{x_1/y_1 + c_1}; \quad f_2(x, y) = \frac{a_2(x_2/y_2)}{x_2/y_2 + c_2}.$$

Тоді шукані величини можна записати в явній формі:

$$x_1^0 = \sqrt{\frac{a_1 c_1}{\lambda}} g_1 y_1 - c_1 y_1; \quad x_2^0 = \sqrt{\frac{a_2 c_2}{\lambda}} g_2 y_2 - c_2 y_2;$$

$$\lambda = \frac{\left(\sqrt{a_1 c_1 g_1 y_1} + \sqrt{a_2 c_2 g_2 y_2}\right)^2}{\left(x + c_1 y_1 + c_2 y_2\right)^2}.$$

Врахуємо тепер залежність  $q(x, y)$ , в якій  $y$  задається як параметр. Вид цієї залежності можна встановити з таких міркувань. Зрозуміло, що

$q(x, y) \rightarrow 0$  при  $x \rightarrow 0$  та при  $x \rightarrow \infty$ , отже  $q(x, y) \rightarrow \max$  при певному значенні  $x$  (оскільки  $q(x, y) \geq 0$ ). Вважатимемо, що ймовірність виділення ресурсів пропорційна обсягу інформації на об'єкті та його вразливості, яку визначаємо як  $v_k = \frac{i_k}{x_k} = \text{tg } \alpha_k$ , де  $\alpha_k$  — кут між віссю абсцис і прямою, проведеною з початку координат у точку на кривій (рис. 1), яка відповідає певному значенню  $f_k(x, y) = i_k(x, y)$ . Розраховані таким чином величини  $v_k(x, y)$ , що відповідають залежностям  $f_1(x, y)$ ,  $f_2(x, y)$  (3), зображено на рис. 6 (криві 1, 2).

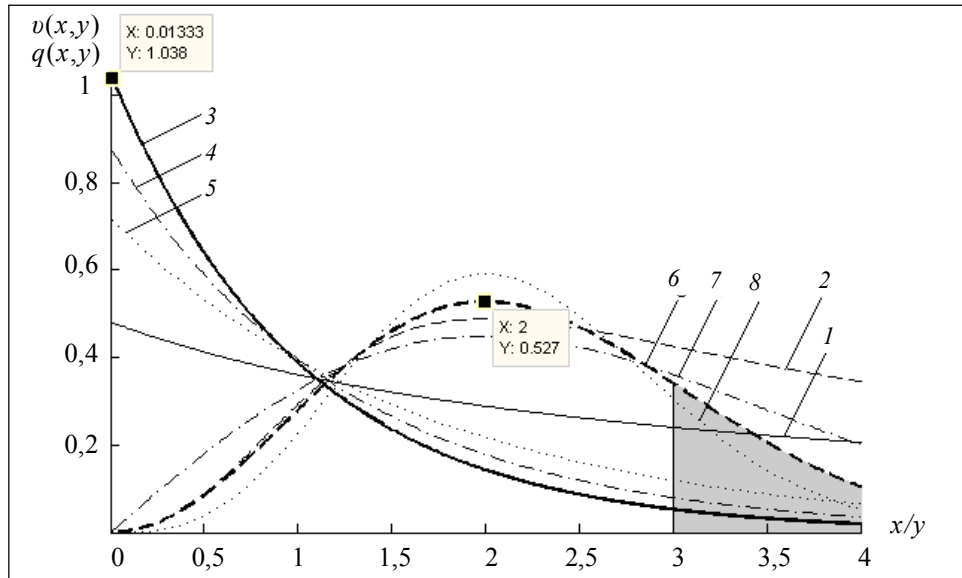


Рис. 6. Формування залежності  $q(x, y)$  в обмеженому інтервалі значень  $x/y$

Зазначимо, що використати залежність  $v(x, y)$  у «чистому» вигляді в якості  $q(x, y)$  неможливо. Це пояснюється тим, що при зростанні  $x$  вразливість  $v = \text{tg } \alpha_k$ , виражена залежностями  $f(x, y)$  (рис. 1), спадає досить повільно (рис. 6, криві 1, 2), тоді як імовірність нападу при  $x \geq g$  прямує до нуля (через нерентабельність). Тому під час формування залежності  $q(x, y)$  слід, крім вразливості, врахувати ще й доцільність нападу, яка визначається рентабельністю вкладених ресурсів  $r = \frac{i-x}{x} = v - 1$ . Слід зазначити, що введене поняття вразливості відрізняється від вразливості [1], яка визначається як імовірність успішного здійснення нападу і не пов'язана явно з кількістю вилученої інформації. Вразливість у нашій інтерпретації пов'язана з рентабельністю і за позитивного її значення  $v > 1$ . Інтервал можливих значень  $x$  у виразі  $q(x, y)$  обмежений певним значенням  $x_{\text{гр}}$ , яке визначається умовою:

$$\int_0^{x_{\text{гр}}} q(x, y) dx = 1. \quad (5)$$

Звуження інтервалу  $x$  викликає необхідність деформування залежності  $q(x, y)$  порівняно з  $v(x, y)$ : у межах  $0..x_{гр}$  її слід підняти, а за межами цього інтервалу — опустити, відкинувши «хвіст» розподілу з точки  $x_{сп}$ . Ступінь деформації в інтервалі  $0..x_{гр}$  визначається умовою (5). Точка  $x = x_m$ , за якої досягається максимум  $q(x, y) = q_m$ , при деформації залишається незмінною, оскільки відповідає максимальному значенню вразливості.

Враховуючи, що вразливості об'єктів істотно різняться, оберемо для кожного з них свою залежність  $q(x, y)$  (рис. 6). Для першого об'єкта форму залежності  $v(x, y)$  подамо у вигляді функції

$$q_{11}(x, y) = Ne^{-\alpha \frac{x}{y}} = 1,05e^{-\frac{x}{y}}. \quad (6)$$

Форма кривої  $v(x, y)$  для другого об'єкта показує, що залежність  $q(x, y)$  можна обрати у вигляді розподілу Максвела:

$$q_{21}(x, y) = N \left( \frac{x}{y} \right)^2 e^{-h^2 \left( \frac{x}{y} \right)^2} = 0,36 \left( \frac{x}{y} \right)^2 e^{-0,25 \left( \frac{x}{y} \right)^2}, \quad (7)$$

де  $h = \frac{1}{x_m}$ . Перший індекс в (6), (7) — номер об'єкта, другий — номер варіанта. Розрахунок нормованих коефіцієнтів  $N$  в (6), (7) знаходимо з умови (5). Сталу  $h$  у цьому випадку визначаємо, поклавши  $x_m = 2$ . Значення  $x_{гр}$  впливає з прийнятого інтервалу обмеження  $x = 0..0,15$  і становить  $x_{гр} = 0,15$ , що, при обраному значенні  $y = 0,05$ , відповідає відношенню  $x/y = 3$ . Ступінь відхилення прийнятого розподілу  $q(x, y)$  (крива 6 в межах  $x/y = 0..3$ ) від розподілу Максвела визначається відносною площею відкинутого «хвоста» —  $\Delta S = 0,21$  (заштрихована область).

Для порівняння на рис. 6 показано також інші залежності, які можна використовувати для апроксимації функцій  $q(x, y)$ . Для першого об'єкта (криві 4, 5):

$$q_{12}(x, y) = 0,88e^{-0,8 \frac{x}{y}}, \quad q_{13}(x, y) = 0,719e^{-0,6 \frac{x}{y}}. \quad (8)$$

Для другого об'єкта — розподіл Релея (крива 7) та кубічна залежність (крива 8):

$$q_{22}(x, y) = 0,37 \left( \frac{x}{y} \right)^2 e^{-0,125 \left( \frac{x}{y} \right)^2}, \quad q_{23}(x, y) = 0,331 \left( \frac{x}{y} \right)^3 e^{-0,375 \left( \frac{x}{y} \right)^2}. \quad (9)$$

Вибір функції  $q(x, y)$  для кожного об'єкта визначається його динамічною вразливістю, яка впливає із залежностей  $f(x, y)$  (рис. 1).

На рис. 7 зображено залежності  $i_{kn} = g_k f_{kn}$ , які розраховані на основі (1) за умови, що  $g_k = 0,5$ ,  $p_k = 1$ ,  $y_k = 0,025$ ,  $f_k(x, y)$  задається виразами (3),  $q_{kn}(x, y)$  — виразами (6)–(9).

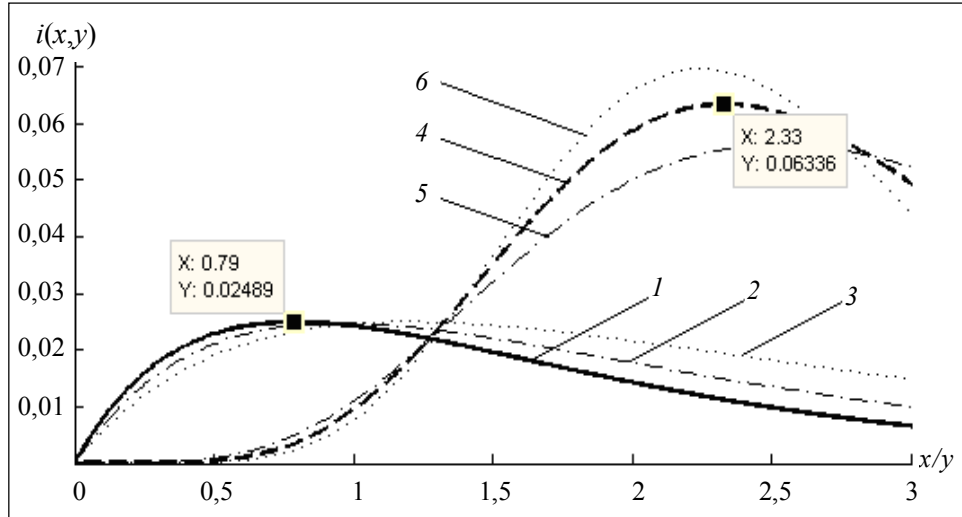


Рис. 7. Функції  $i(x, y)$  з врахуванням залежностей  $q(x, y)$

Із врахуванням залежностей  $f_k(x, y)$ ,  $q_{kn}(x, y)$ , які відповідають виразам (3), (6), (7), цільова функція  $i(x_1, x_2)$ , що визначає відносну кількість вилученої інформації з двох об'єктів, має вигляд:

$$i(x, y) = g_1 q_{11}(x_1, y_1) f_1(x_1, y_1) + g_2 q_{21}(x_2, y_2) f_2(x_2, y_2) = \frac{1}{2} g_1 1,05 e^{-\frac{x_1}{y_1}} \frac{\frac{x_1}{y_1}}{\frac{x_1}{y_1} + 3} + \frac{1}{3} g_2 0,36 \left(\frac{x_2}{y_2}\right)^2 e^{-0,25 \left(\frac{x_2}{y_2}\right)^2} \frac{\left(\frac{x_2}{y_2}\right)^3}{\left(\frac{x_2}{y_2}\right)^3 + 4}. \quad (10)$$

Графічне зображення об'ємної фігури, яка відповідає цій функції, наведено на рис. 8. Використання залежності  $q(x, y)$  викликає деформацію фігури рис. 2. У результаті з'являється вершина «гори» (рис. 8), яка визначає абсолютний максимум  $i_{\max} = 0,06498$  і оптимальний розподіл ресурсів  $x_1^0 = 0,0225$  та  $x_2^0 = 0,105$ , а також його сумарне значення  $x^0 = 0,123$  при  $g_1 = g_2 = 0,5$ ,  $y_1 = y_2 = 0,025$ .

Лінії рівня, отримані в результаті перерізу об'ємної фігури рис. 8 площинами  $i(x_1, x_2) = C$  при різних  $C$  дозволяють скласти чіткіше уявлення про крутизну цієї фігури в різних напрямках (криві 1–3 на рис. 9). Для порівняння на цьому ж рисунку наведено лінії перерізу (криві 4–6) ще однієї залежності  $i(x_1, x_2) = g_1 q_{13}(x_1) f_1(x_1) + g_2 q_{23}(x_2) f_2(x_2)$ . Перерізи здійснено на рівнях: криві 1, 4 —  $i(x_1, x_2) = 0,06$ ; 2, 5 —  $i(x_1, x_2) = 0,05$ ; 3, 6 —  $i(x_1, x_2) = 0,04$ .

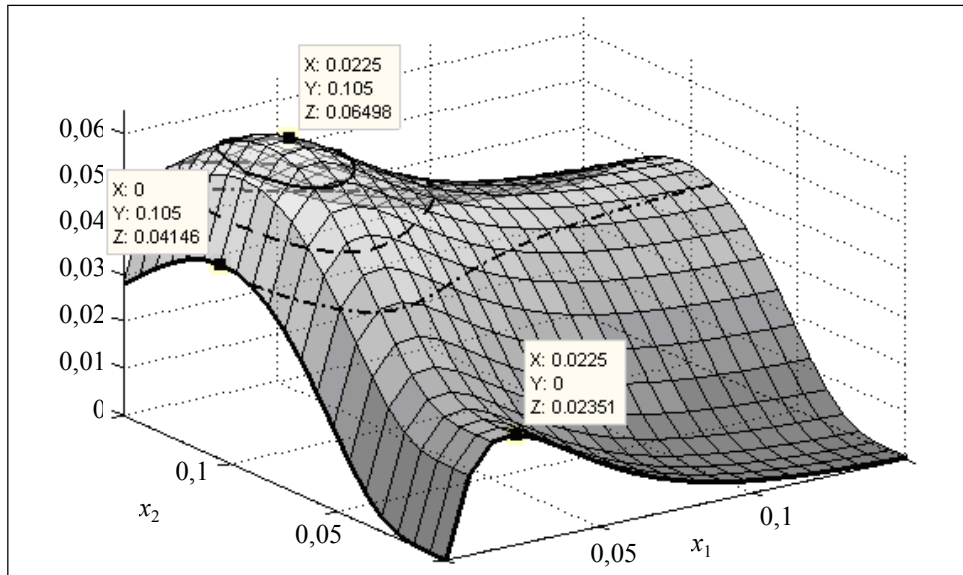


Рис. 8. Просторова фігура  $i(x, y)$  із врахуванням залежностей  $q(x, y)$

Густина ліній в околі точки  $i_{\max}$  у горизонтальному та вертикальному напрямках дозволяє оцінити чутливість величини  $i$  до відхилення  $x_1$  та  $x_2$  від їх оптимальних значень  $x_1^0$ ,  $x_2^0$ .

Підсумовуючи, нагадаємо, що кінцевою метою дослідження є пошук оптимальної стратегії дій захисту, тобто визначення оптимальних значень  $y_k^0$ . Розрахунок максимальних значень  $i(x, y)$  та  $\{x_k^0\}$  допомагає передбачити дії суперника та розробити заходи протидії.

Визначення оптимального відношення  $(y_1/y_2)^0$  для системи з двох об'єктів проводиться в такій послідовності.

- На основі експертних оцінок визначаємо розподіл  $\{g_k\}$ .
- У результаті аналізу фізичної вразливості кожного об'єкта підбираємо залежності  $f_1(x, y)$ ,  $f_2(x, y)$ .
- Поклавши  $p_1 = p_2 = p = 1$  та вибравши вид функції  $q(x, y)$ , формуємо цільову функцію:

$$i(x, y) = g_1 q_1(x, y) f_1(x, y) + g_2 q_2(x, y) f_2(x, y).$$

- Виходячи з реальних можливостей, встановлюємо межі допустимих значень  $x$  та  $y$ , наприклад

$$y = (0..0,05)g, \quad x = (0..3)y = (0..0,15)g.$$

- Виходячи з умови досягнення максимальної рентабельності ресурсів нападу на кожному об'єкті, тобто враховуючи вираз для динамічної вразливості об'єкта, яка впливає з обраної залежності  $f_k(x, y)$ , визначаємо  $x_k/y_k$ .

- Враховуючи співвідношення  $g_1/g_2$ ,  $v_1/v_2$ , задаємо  $y_1/y_2 = g_1/g_2 v_1/v_2$  і, знаючи  $y = y_1 + y_2$ , знаходимо  $y_1$  та  $y_2$ .
- Задаємо  $g_1, g_2, y_1, y_2$  у вираз (8) і, використовуючи функції пакета Optimization Toolbox програмного комплексу Matlab, знаходимо оптимальні значення  $\{x_1^0, x_2^0\}$ , які визначаються критерієм  $i(x_1^0, x_2^0) = \min_{x_1, x_2} i(x_1, x_2)$ .

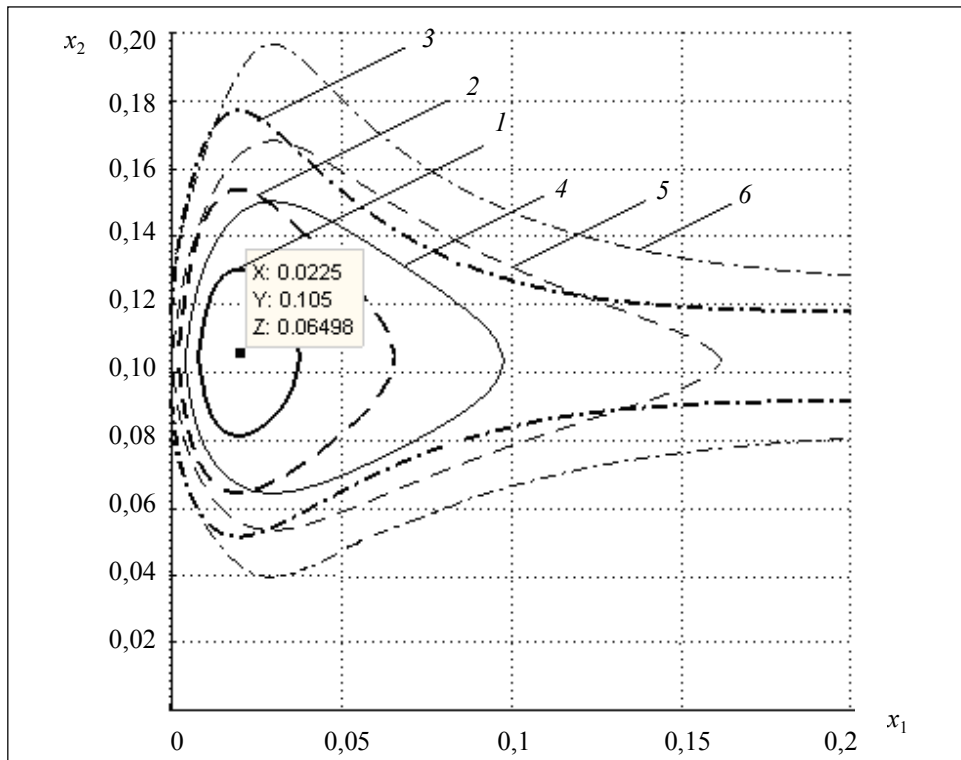


Рис. 9. Лінії рівня просторової фігури рис. 8

- Використовуючи значення  $\{x_k^0\}$ , повторюємо описану процедуру по відношенню до  $\{y_k\}$  і знаходимо  $\{y_k^0\}$ , виходячи з критерію  $i(y_1^0, y_2^0) = \min_{y_1, y_2} i(y_1, y_2)$

## ВИСНОВКИ

Зроблені у нашому розгляді обмеження та припущення не є принциповими і не звужують область застосування наведеної методик. Розроблену модель можна застосовувати до системи з довільною кількістю об'єктів при різних розподілах обсягів інформації та різній вразливості об'єктів.

Її обґрунтуванням може бути те, що вона дає якісно схожі, а при певному виборі параметрів — повністю співпадаючі результати з найбільш відомою і широко вживаною моделлю ГЛ, яка знайшла своє емпіричне підтвердження [6].

Окреслимо можливі напрями розвитку методики.

- Встановлення зв'язку між залежностями  $f_k(x, y)$  і характеристиками об'єктів — як фізичних, так і електронних. На цій основі проводиться уточнення залежностей  $f_k(x, y), q_k(x, y)$ .

- Розробка методики розв'язку багатопказникової екстремальної задачі з використанням цільової функції, в яку входять декілька показників (наприклад, кількість вилученої інформації  $i$  та кількість ресурсів захисту  $y$  з певними ваговими коефіцієнтами).

- Розробка універсальної програми динамічного управління ресурсами в багаторубіжних системах в умовах комплексного протистояння, коли частина ресурсів кожної сторони витрачається на захист власної інформації, а інша частина — на здобуття інформації суперника з врахуванням можливості попереднього проведення розвідки.

## ЛІТЕРАТУРА

1. *Gordon L.A., Loeb M.P.* The economics of information security investment // ACM Transactions on information and system security, Nov. — 2002. — 5, № 4. — P. 438–457.
2. *Matsuura K.* Productivity space of information security in an extension of the Gordon-Loeb's investment model // The 7-th workshop on the economics of information security, Hanover, USA, June 25–28. — 2008. — <http://weis2008.econinfosec.org/papers/Matsuura.pdf>.
3. *Huang C.D., Hu Q., Behara R.S.* Economics of information security investment in the case of simultaneous attacks // Proceeding of the 5-th workshop on the economics of information security, Cambridge, England, June 26–28. — 2006. — P. 1–33.
4. *Левченко Є.Г., Рабчун А.О.* Оптимізаційні задачі менеджменту інформаційної безпеки // НТЖ «Сучасний захист інформації». — 2010. — № 1. — С. 16–23.
5. *Левченко Є.Г.* Оптимізація розподілу ресурсів між об'єктами захисту інформації. — К.: НТЖ «Захист інформації». — 2007. — № 1. — С. 34–38.

*Надійшла 14.10.2010*